

تبعثر نواة الليثيوم ${}^{24}\text{Mg}$ بوساطة نواة الهدف ${}^6\text{Li}$ في المجال الطاقي $E_{\text{Li}} = (30-50)\text{MeV}$ بطريقة VMA

الأستاذ المشرف

إعداد

أ.د. عبدالهادي صوفان

كوثر وليد الجزار

الملخص

تم في هذا البحث تحديد البارامترات الهندسية الوصفية للكمونات الحقيقة والتخيلية والقيم العددية للعزوم من المرتبة الثانية والكمونات الضوئية الموافقة لها وتم تمثيلها بيانيًا بالإضافة إلى إيجاد قيم المقاطع العرضية للمنظومة النووية المدروسة $({}^6\text{Li} + {}^{24}\text{Mg})$ في المجال الطاقي المحدد $(30 - 50) \text{ MeV}$ وذلك باستخدام طريقة التقرير التغايري للعزوم (VMA).

وأظهرت النتائج التي حصلنا عليها توافق جيد ومنسجم إلى حد كبير مع القيم المرجعية.

الكلمات المفتاحية:

التقرير التغايري للعزوم، المقاطع العرضي للتفاعل، الكمون الضوئي، المقاطع العرضي التفاضلي، التكاملات الحجمية.

"The scattering of the ${}^6\text{Li}$ nucleus by the ${}^{24}\text{Mg}$ target nucleus in the energy range $E_{\text{Li}} = (30-50) \text{ MeV}$ by (VMA) method."

Abstract:

The results demonstrated a good agreement between the obtained values and the corresponding reference data.

In this work, the geometrical descriptive parameters of the real and imaginary optical potentials, as well as the numerical values of the second-order moments and their corresponding optical potentials, were determined and graphically represented. In addition, the cross sections of the studied nuclear system were evaluated within the energy range of 30–50 MeV using the Variational Moment Approach (VMA) method. The obtained results showed good agreement and a high degree of consistency with the reference data.

Keywords:

Variational Moment Approach, reaction cross section, optical potential, differential cross section, volume integral.

المقدمة:

الفيزياء النووية هي أحد فروع الفيزياء الحديثة التي تركز على دراسة نواة الذرة وما يحدث بداخليها من تفاعلات معقدة. وبالرغم من أن النواة تشكل جزءاً صغيراً جداً من حجم الذرة، إلا أن ما يحدث بداخليها يملك تأثيراً هائلاً على حياتنا بداية من توليد الطاقة، مروراً بالتطبيقات الطبيعية، إلى فهم نشأة الكون وتطوره. ظهرت الحاجة لفهم النواة وتفاعلاتها بدءاً من اكتشاف النشاط الإشعاعي وتطور العلم أكثر مع اكتشاف العناصر المشعة وصولاً إلى تحديد طبيعة النواة من خلال تجربة رذرфорد حيث أن هذه التجارب دفعت الباحثين للتعompق في فهم بنية النواة وسلوكها [1]. نظراً للتعقيد الكبير داخل النواة وللصعوبات التي واجهها العلماء في تلك المرحلة لفهم طبيعة القوى النووية أصبح من الضروري وضع نماذج تساعد في تفسير السلوك الفيزيائي للنوى الذرية حيث كل منها يسلط الضوء على زاوية معينة من سلوك النواة ذكر منها نموذج قطرة السائل ، نموذج النواة المركبة ،نموذج الطبقي ،نموذج غاز فيرمي ولعل أهم هذه النماذج النموذج الضوئي (optical model) الذي يدرس النواة كدراسة خواص الضوء من انعكاس وانكسار وامتصاص ففي هذه الحالة تقسم موجة الجسيم الوارد إلى النواة إلى موجة منعكسة وموجة مرتجدة وتدرس عن طريق ما يسمى بالكمون المركب [2]. نظراً للنجاح الذي قدمه هذا النموذج في تفسير نتائج التجارب النووية كحساب المقاطع العرضية تم تطويره إلى نموذج آخر أكثر حداثة دُعي بالنموذج الضوئي التبددي والذي يعتبر بأن جزئي الكمون الحقيقي والتخيلي مرتبطين ارتباطاً داخلياً من خلال العلاقة التبددية (6). وللنماذج الضوئي التبددي فرعين أساسين الأول يدعى بتحليل النموذج الضوئي التبددي (DOMA)، أما الثاني فيدعى بالتقريب التغایري للعزوم (VMA). في هذا البحث سنعتمد طريقة (VMA) التي طبقت لدراسة تبعثر النيوكليونات بوساطة النوى في مجالات طافية مختلفة ، ثم طورت

$E_{Li} = (30-50) \text{ MeV}$ تبعثر نواة الليثيوم Li^6 بوساطة نواة المهدف Mg^{24} في المجال الطاقي

بطريقة VMA

لدراسة تبعثر نواة بوساطة نواة أخرى والتي تعد من أهم الدراسات في الفيزياء النووية [3] كتبعثر نواة الليثيوم بوساطة نوى أهداف مختلفة كالمنجنيزيوم.

هدف البحث:

استبيان شكل الكمونات الضوئية للمنظومة النووية المدروسة في المجال الطاقي المحدد ودراسة تابعيتها للطاقة وإيجاد البارامترات المثلالية للكمون الضوئي وأيضاً تحديد مقاطع التفاعل باستخدام طريقة التقرير التغاییری للعزوم (VMA).

الأسس الرياضية لطريقة VMA :

تعتمد هذه الطريقة في حسابها التكاملات الحجمية (الحقيقية والتخييلية) في استنبطها لشكل الكمون ولوسطائه الهندسية (البارامترات).

يعطى الكمون الضوئي الناتج عن التأثير المتبادل بين القذيفة والهدف بالعلاقة التالية:

$$U(r, E) = V(r, E) + iW(r, E) + V_{LS}(r, E) + V_c(r) \quad (1)$$

كما هو موضح من العلاقة (1) إن الكمون الضوئي المتشكل ناتج من اتحاد عدة مكونات أساسية . حيث يمثل الحد الأول $V(r, E)$ الجزء الحقيقي للكمون الضوئي الذي يتكون بدوره من مركبتين الأولى تعبّر عن كمون هارتي فوق أما الثانية فتدعى بالكمون التبديي والتي بدورها تتكون من حدين تبدييين سطحي $\Delta V_d(r, E)$ وحمجي $\Delta V_V(r, E)$.

يعبر عن الجزء الحقيقي للكمون بالعلاقة التالية:

$$V(r, E) = V_{HF}(r, E) + \Delta V_d(r, E) + \Delta V_V(r, E) \quad (2)$$

أما الحد الثاني $iW(r, E)$ فيعبر عن الجزء التخييلي للكمون الضوئي الذي يتكون من مركبتين هما الكمون التخييلي السطحي $(E, r) W_d$ و الكمون التخييلي الحجمي $(r, E) W_V$ ويعبر عن ذلك بالعلاقة :

$$W(r, E) = W_d(r, E) + W_V(r, E) \quad (3)$$

يعبر الحد الثالث $V_{LS}(r, E)$ عن الكمون السبياني المداري الذي يعطى بالعلاقة :

$$V_{LS} = -V_{LS}(E)(4r_{LS} \cdot a_{LS})^{-1} \cdot g(X_{LS}) \vec{L} \cdot \vec{\sigma} \quad (4)$$

أما الحد الأخير $V_c(r)$ فيمثل الكمون الكولومي .

تكتب علاقة الكمون بالشكل التالي:

$$U(r, E) = V_{HF}(r, E) + \Delta V_d(r, E) + \Delta V_V(r, E) + i(W_d(r, E) + W_V(r, E)) + V_{LS}(r, E) + V_c(r) \quad (5)$$

منهجية تطبيق طريقة VMA:

الخطوات المتبعة في هذه الطريقة هي إيجاد مكونات الكمون الضوئي وتعويضها في العلاقة .
.

العلاقة التبددية هي التي تربط بين الجزء الحقيقى للكمون الضوئي والجزء التخيلى :

$$\Delta V(r, E) = V_0(r, E) + \frac{P}{\pi} \int \frac{W(r, E')}{(E - E')} dE' \quad (6)$$

يعطى الكمون التبدي السطحي والتبددي الحجمي بالعاقتين :

$$\Delta V_V(r, E) = \frac{2}{\pi} (E - E_s) \int_{E_0}^{\infty} \frac{w_V(r, E) dE}{(E - E_s)^2 - (E - E_s)} \quad (7)$$

$$\Delta V_d(r, E) = \frac{2}{\pi} (E - E_s) \int_{E_0}^{\infty} \frac{w_d(r, E) dE}{(E - E_s)^2 - (E - E_s)} \quad (8)$$

بالمكاملة نحصل على العلاقة :

$$\Delta V_w(E) = \frac{2}{\pi} (E - E_s) \int_{E_0}^{\infty} \frac{[r^2]_w(E) dE}{g_w(E) [(E - E_s)^2 - (E - E_s)^2]} \quad (9)$$

حيث يعبر $[r^2]_w(E)$ عن العزم من المرتبة الثانية ويتم توصيف تلك العزوم بعد تحديدها
 العلاقة (براون-راو):

$$[r^2]_w(E) = [r^2]_{wV}(E) + [r^2]_{wd}(E)$$

$$[r^2]_{wd}(E) = \beta_2 \left[\frac{(E - E_0)^2}{(E - E_0)^2 + \rho_w^2} - \frac{(E - E_0)^2}{(E - E_0)^2 + \rho_w^2} \right] \quad (10)$$

علمًا أن (ρ_w, β_2) تمثل الوسطاء الهندسية لبرون-راو ومن خلالها نحصل على أفضل توصيف للمنحنى الناتجة حيث أخذت بطريقة المطابقة بين القيم المرجعية للعزوم من المرتبة الثانية للجزء التخييلي للكمون والقيم الحسابية وفق علاقة (برون-راو)، بينما E_0 تمثل في حالة النيوكليونات $E_0 = \frac{E_F}{2}$ وأيضاً تمثل بداية الامتصاص، لكن في حالة كون المقدوف نواة كالليثيوم في هذه الحالة فإن طاقة فيرمي تفقد المعنى لأن النواة المقدوفة ذات تركيب معد مشابه لتركيب النواة الهدف لهذا يتم استبدال طاقة فيرمي بطاقة اختيارية E_S .

بعد تحديد العزوم التخييلية من المرتبة الثانية يتم الانتقال إلى تحديد الكمونات التخييلية : (سطحية وحجمية) كالتالي :

$$[r^2]_{wv}(E) = \frac{4\pi R_w^3}{3A_P A_T} \left[1 + \frac{1}{3} \left(\frac{\pi a_w}{R_w} \right)^2 \right] W_w(E) = g_v W_v(E) \quad (11)$$

تمثل الأعداد الكتالية لكل من الهدف والقذيفة على الترتيب.

يتم حساب R_w من العلاقة:

$$R_w = r_w A^{\frac{1}{3}} \quad (12)$$

بعد إيجاد جميع الحدود في علاقة الكمون الكلي فإن (4) تأخذ الشكل التالي :

$$V(r, E) = \frac{J_0(E_s)}{g_v} [exp(\alpha(E - E_s))f(r_v) + \Delta V_w f(r_w) + \Delta V_d(E)g(r_d)] + iW_w f(r_w) + iW_d g(r_d) + V_{ls}(r, E) + V_C \quad (13)$$

تبعثر نواة الليثيوم ${}^6\text{Li}$ بوساطة نواة المدف ${}^{24}\text{Mg}$ في المجال الطاقي $(30-50\text{ MeV})$

طريقة VMA

عبارة عن توابع وود- ساكسون $g(r_d), F(r_w)$

$$g(r_d) = -a_i \frac{df(x_i)}{dr}, \quad F(r_w) = [1 + \exp(X_i)]^{-1}$$

$$\frac{d^2\psi}{dr^2} + \frac{2M}{\left(\hbar/2\pi\right)^2} (E - U)\psi = 0 \quad (14)$$

بعد الحصول على القيمة الجديدة للكمون يتم إدراجها في معادلة شرودينغر وحلها باستخدام SPI-Genoa [12] نحصل على مقاطع التفاعل التقاضية والكلية.

النتائج والمناقشة:

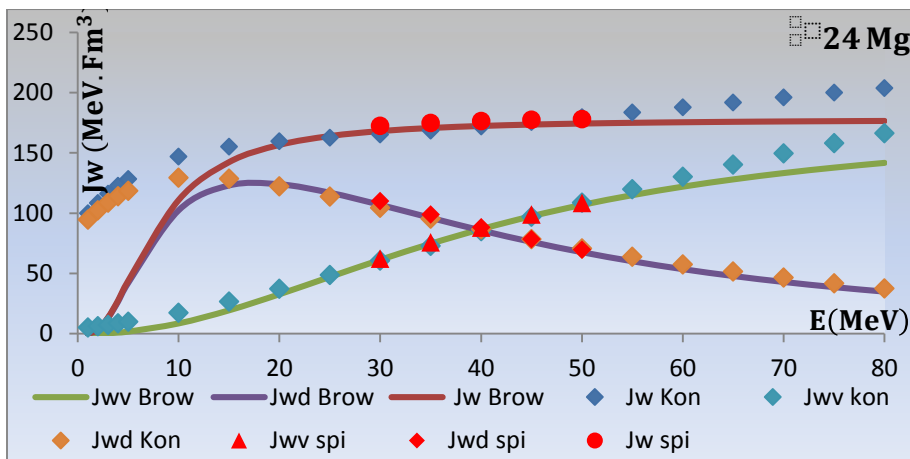
1- تم إيجاد البارامترات المثلالية للكمون الضوئي الموضحة في الجدول (1) للمنظومة النووية

المدرستة (${}^6\text{Li} + {}^{24}\text{Mg}$) بطريقة VMA.

الجدول (1)

E (MeV)	V (MeV)	r_v Fm	a_v Fm	W_v (MeV)	r_v Fm	a_v Fm	W_d (MeV)	r_d Fm	a_d Fm	σ (mb)
30	313.0063	1.521	0.664	23.976	1.441	0.640	25.89	1.441	0.640	1544
35	306.2575	1.508	0.664	29.19	1.441	0.640	23.28	1.441	0.640	1556
40	298.3421	1.498	0.664	33.912	1.441	0.640	20.76	1.441	0.640	1555
45	289.6854	1.491	0.664	38.1	1.441	0.640	18.444	1.441	0.640	1549
50	280.5925	1.486	0.664	41.76	1.441	0.640	16.38	1.441	0.640	1540
$V_{so} = 0.85\text{ Mev}$			$r_{so} = 0.96 \text{ Fm}$					$a_{so} = 0.59 \text{ Fm}$		

2- قمنا بتحديد قيم التكاملات الحجمية بالنسبة للجزء التخيلي للكمون (السطحية والحجمي) بعد أن تم توصيفها بعلاقة (براون-راو) وتم دراسة تابعيتها بالنسبة للطاقة .



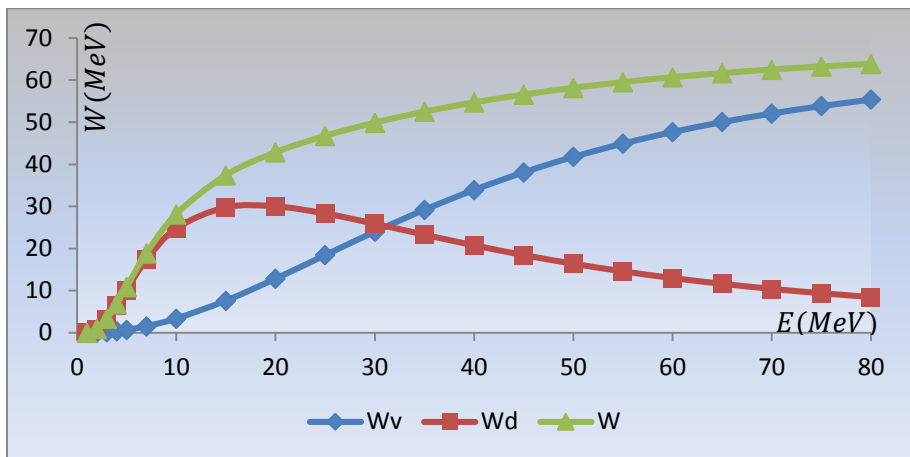
الشكل (1) يمثل تغيرات التكاملات الحجمية من المرتبة الثانية (العزوم) للكمون التخيلي جزئيه بالنسبة للطاقة .

كما هو موضح من الشكل (1) ظهر العزوم التخيلي السطحية والحجمية سلوكاً وتبيناً طائياً مختلفاً فيما بينها . فنجد أن العزم التخيلي السطحي يزداد مع ارتفاع الطاقة إلى أن يصل إلى قيمة عظمى ثم يبدأ بالتناقص مع ارتفاع الطاقة الهدف وبعود ذلك إلى تناقص التأثيرات السطحية الناجمة عن المشاركة الفعالة لنيوكليونات السطحية للنواة الهدف بالمقابل نجد أن العزم التخيلي الحجمي يزداد بزيادة الطاقة أما بالنسبة للعزم التخيلي الكلي فيبدى سلوكاً متزايداً في البداية ومن ثم استقراراً ملحوظاً وهذا يعود إلى الاختلاف بين سلوك العزم التخيلي الحجمي والسطحي .

نلاحظ من الشكل أن التكاملات الحجمية التخiliّة (السطحية والحجمية) المحسوبة بطريقة VMA تظهر تقارباً جيداً من القيم التي حصلنا عليها من تصنيف كونيك [13] في المجال الطاقي (30-50) MeV.

بطريقة VMA

3- وفقاً للجدول (1) وبالاعتماد على المنهجية المتبعة تم تحديد قيم الكمونات الضوئية التخيلية (السطحية والحجمية) وتمثيلها بيانياً في الشكل التالي:

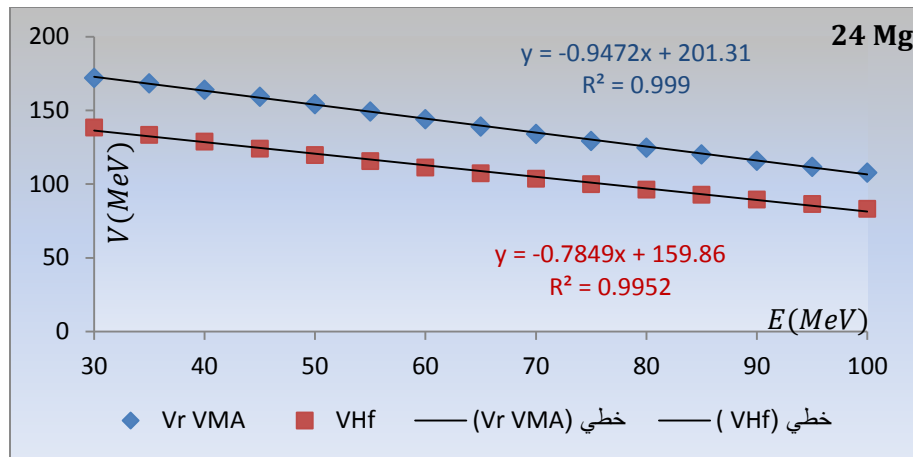


الشكل (2) يمثل تغيرات الكمونات الضوئية التخيلية (السطحية والحجمية) بالنسبة للطاقة للمنظومة النووية المدرسة .

نلاحظ من الشكل أن الكمون الضوئي يتبع سلوكاً مشابهاً لسلوك التكاملات الحجمية ويعود ذلك إلى العلاقة التي تربط بينهما $[r^2]_w = qw(E)$.

وأيضاً تسلك الكمونات الضوئية المحسوبة بطريقة VMA سلوك مشابه للكمونات التي حصلنا عليها من تصنيف كونيك [13].

4- تم دراسة التغير الطاقي لكلٍ من الكمون الحقيقي وكمون هارتبي-فوك وتم تمثيلها بيانياً في الشكل التالي بناءً على النتائج التي حصلنا عليها من VMA:



الشكل (3) يمثل تغيرات الكمون الحقيقي وكمون هارتي-فوك بالنسبة للطاقة للمنظومة النووية المدروسة .

نلاحظ من هذا الشكل السلوك الخطى لكل من الکمون الحقيقي وكمون هارتي-فوك بالنسبة للطاقة وتم التعبير عن هذا السلوك بالمعادلات التالية :

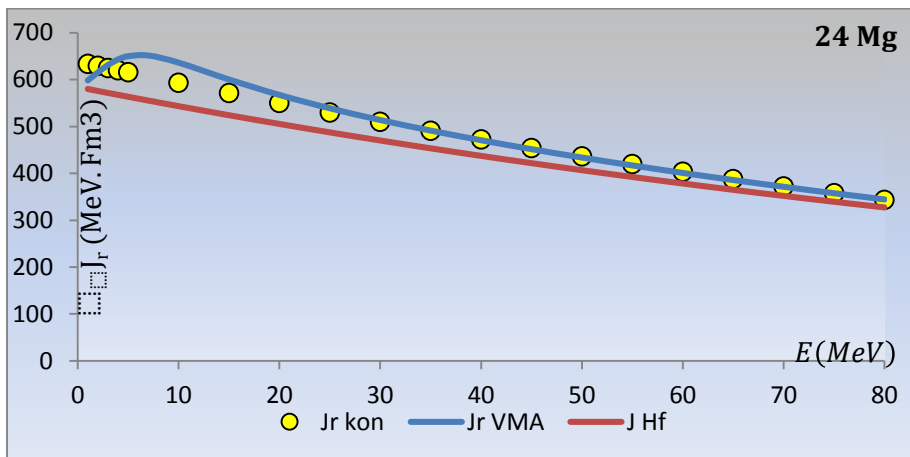
$$V_r = -0.9472E + 201.31$$

$$V_{Hf} = -0.7849E + 159.86$$

حيث أنه من خلال هذه العلاقات يمكننا تحديد قيم الکمون الحقيقي وكمون هارتي-فوك من أجل أي قيمة طاقية مختارة.

5- التابعية الطاقية للعزوم الحقيقة للمنظومة النووية (${}^6Li + {}^{24}Mg$) في المجال الطافي . (30-50) MeV

**تبعثر نواة الليثيوم Li^6 بواسطة نواة المدف ^{24}Mg في المجال الطاقي $(30-50\text{ MeV})$
بطريقة VMA**

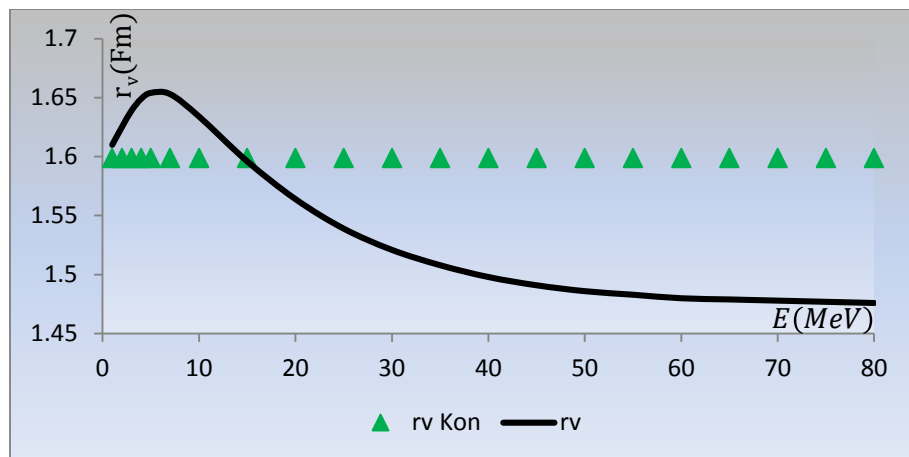


الشكل (4) يمثل تغيرات العزم الحقيقى وعزم هرتى فوك بالنسبة للطاقة.

نلاحظ من هذا الشكل أنه عند الطاقات المنخفضة يزداد العزم الحقيقى حتى يبلغ قيمة عظمى ثم يبدأ بعدها بالتناقص مع زيادة الطاقة .ويفسر هذا بأن القيمة العظمى للعزم الحقيقى تعكس ظاهرة يطلق عليها اسم ظاهرة الشذوذ العتبي للجزء الحقيقى للكمون الضوئي حيث تشير هذه الظاهرة إلى مساهمة مشتركة وفعالة لقنوات التفاعل المختلفة .

وأيضاً نلاحظ توافق جيد بين قيم العزوم الحقيقية للكمون الضوئي وفق طريقة VMA وتلك المحسوبة وفق التصنيف العالمي لكونيك [13] .

6- دراسة التابعية الطافية لنصف قطر الكمون الحقيقى على المجال $(30-50)\text{ MeV}$ للمنظومة النووية المدرستة.



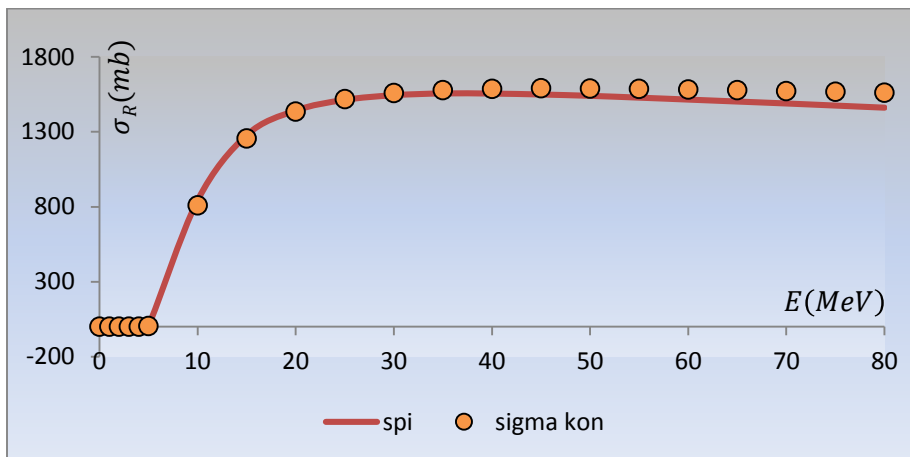
الشكل (5) يمثل تغيرات نصف قطر الكمون الحقيقي بالنسبة للطاقة للمنظومة النووية المدروسة.

كما هو مبين من الشكل أن سلوك نصف قطر الكمون الحقيقي المحسوب وفقاً لطريقة VMA يبدأ بالتزايده إلى أن يصل إلى قيمة عظمى ويبدأ بعدها بالتناقص مع ازدياد الطاقة وهذا بدوره يعبر عن شذوذ سلوك نصف قطر الكمون الحقيقي الذي يرجع إلى مشاركة العديد من قنوات التفاعل المختلفة ضمن هذا المجال .

بينما نلاحظ سلوك نصف القطر الحقيقي الناتج من تصنيف كونيك[13] يأخذ قيمة ثابتة مع تغير طاقة المقذوف وبالتالي هذا لا يعكس التغيرات التي تطرأ على نصف القطر بشكل واضح ولا على التأثيرات المتبادلة بين القذيفة والهدف أيضاً.

7- تحديد قيم المقطع العرضي للتفاعل للمنظومة المدروسة (${}^6Li + {}^{24}Mg$) ودراسة تابعيتها للطاقة كما هو مبين في الشكل (6).

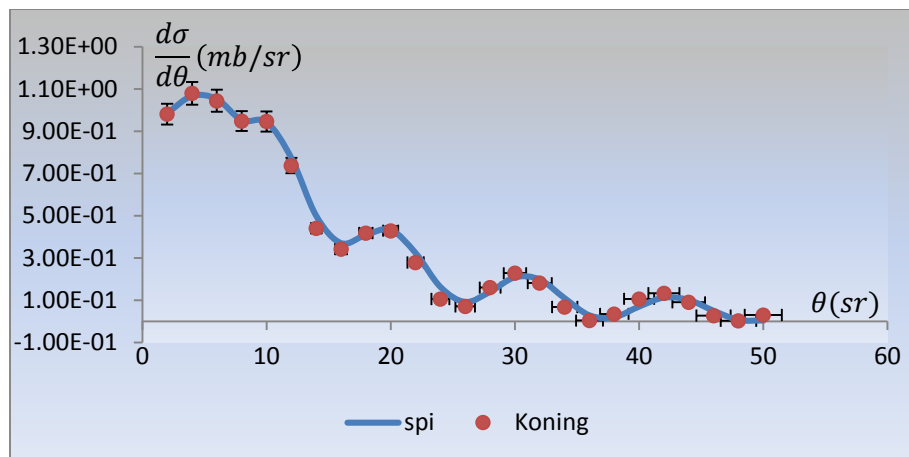
**تبعثر نواة الليثيوم Li^6 بواسطة نواة الهدف ^{24}Mg في المجال الطاقي $(30-50 \text{ MeV})$
بطريقة VMA**



الشكل (6) يمثل تغيرات المقطع العرضي للتفاعل ضمن المجال الطاقي المدروس .

نلاحظ أن المقطع العرضي للتفاعل يبدأ بقيم صغيرة عند الطاقات المنخفضة ومع زيادة طاقة المقذوف يزداد بشكل أكبر نتيجة مشاركة العديد من قنوات التفاعل وازدياد احتمال التفاعل بين نواة الليثيوم ونواة الهدف وبعد الوصول إلى حد معين من الطاقة نلاحظ أن المقطع العرضي للتفاعل يبدأ بالتشبع ويأخذ قيم شبه ثابتة ويشير شكل المنحني وكأنه خط مستقيم تقريباً.

8- دراسة تغير المقطع العرضي التفاضلي بالنسبة للزاوية عند طاقة دف ثابتة ضمن المجال الطاقي المدروس.



الشكل (7) يمثل تغيرات المقطع العرضي الناقصي للمنظومة النووية المدروسة بالنسبة للزاوية عند الطاقة 30MeV .

نلاحظ من الشكل التوافق الجيد بين القيم الناتجة من برنامج SPI والقيم المحسوبة من تصنيف كونيك [13].

الاستنتاجات:

وفقاً لمنهجية VMA المتبعة في هذه الورقة البحثية وباستخدام الكودين (VMA-SPI) و SPI تم دراسة تبعثر الليثيوم بواسطة نواة الهدف Mg^{24} في المجال الطاقي $(30-50) MeV$ وتم التوصل إلى العديد من النتائج ذكر منها :

1- حصلنا على قيم البارامترات المثالية للكمون الضوئي للمنظومة النووية المدروسة على المجال الطاقي $(30-50) MeV$ بفواصل طاقي $\Delta E = 5 MeV$ حيث قمنا بتنشيط قيمة وسطاء الكمون السبياني المداري باعتبارها غير تابعة للطاقة.

2- تم الحصول على قيم التكاملات الحجمية من المرتبة الثانية بالنسبة للجزء التخيلي للكمون (السطحية والحجمية) بعد أن تم توصيفها بعلاقة براون-راو وأيضاً قمنا بتنشيطها بيانياً ومن ثم ناقشنا السلوك الذي تتبعه تلك العزوم.

3- تم إيجاد قيم الكمونات الضوئية التخiliّية (السطحية والحجمية) ودراسة تغيراتها بالنسبة للطاقة ومنتلت بيانياً في الشكل (2) وتبين لنا أنها تسلك سلوك مشابه للعزوم التخiliّية وهذا يعزى إلى العلاقة التي تربط بينهما $[r^2]_w = qw(E)$.

4- تم دراسة التغيرات لكل من الكمون الحقيقي وكمون هارتلي-فوك بالنسبة للطاقة حيث تم توصيف السلوك الذي تتبعه هذه الكمونات بالعلاقتين :

$$V = -0.9472E + 201.31$$

$$V_{Hf} = -0.7849E + 159.86$$

5- قمنا بدراسة تابعية نصف قطر الكمون الحقيقي للطاقة وتم مقارنة السلوك الذي يتبعه مع نصف قطر الكمون الحقيقي المحسوب من التصنيف العالمي لكونيك [13] .

6- تم تحديد قيم مقاطع التفاعل ودرست تابعيتها للطاقة وتبيّن لنا من الشكل التطابق الجيد بين قيم مقاطع التفاعل التي حصلنا عليها وفق طريقة VMA وتلك المحسوبة وفق تصنيف كونيك [13].

7- تم دراسة تغيير المقطع العرضي التفاضلي كتابع للزاوية عند طاقة ثابتة مختارة ضمن المجال الطيفي المدروس .

التوصيات:

إتاحة استخدام طريقة VMA لتشمل مجالات طافية أعلى للجسيم المقذوف وأيضاً لتشمل نوى أهداف ثقيلة.

المراجع:

- [1] Krane, K. S. (1991). Introductory nuclear physics. John Wiley & Sons.
- [2] د-أنيس بلال، محاضرات الفيزياء النووية لطلاب السنة الرابعة فيزياء، قسم الفيزياء، كلية العلوم، جامعة حمص.
- [3] Hodgson, P. E. (1990). The unification of the nuclear optical potential. *Contemporary physics*, 31(5), 295-308.
- [4] ROMANOVSKY E. A , BELAL. A , MORZENA L .R, 1993 , News. RAS ,Phys . Vol . 57, No . 10 , P. 179.
- [5] ROMANOVSKY E. A, BOTROS. S, SBASKIA T. E,1995, News. RAS Phys. Vol .59, No. 5, P. 117.

تبعثر نوأة الليثيوم Li⁶ بوساطة نوأة المهدف Mg²⁴ في المجال الطاقي MeV (50-30) بطريقة VMA

- [6] ROMANOVSKY E. A, BOTROS. S, BECPALOVA, B.O,1995, News. RAS, Phys. Vol. 59, No. 1, P. 145.
- [7] BELAL. A ,2006-Investigating the resultant characteristics of proton scattering on nuclei $50 \leq A \leq 70$ with energy near the columbic barrier ($E = EB$) using(VMA)model, Journal of Syria- Homs, Vol.28, No.2, p.279-297- Albaath University.
- [8] BELAL. A, 2009-Using the Dispersion Optical Model for Analysis of Proton Scattering by Nuclei Zr ^{92,94,96}Energy Range close to columbic barrier Journal of AL Baath University –Syria-Homs, No.31.
- [9] Al-Mustafa, H., & Belal, A. A Dispersive Optical Model Analysis of the Alpha Particles Scattering by Titanium Element Nucleus and Its Natural Isotopes.
- [10] Белал, А., & Саллум, Р. (2019). STUDY OF REACTION SECTIONS FOR THE SYSTEM ($n + Sn^{112}$) IN THE ENERGY RANGE (100 \leq 125 MeV) Using METHOD OF (VMA). *Ангелы науки*, 1(9), 19-24.
- [11] أوس علي. (2024). دراسة التباينات الطافية للعزوم من المرتبة الثانية بالنسبة للجزء التخيلي للكمون الضوئي للتفاعل ($^{56}_{26}Fe + \alpha$) باستخدام طريقة (VMA). سلسلة العلوم الأساسية.. ، 46(8)
- [12] PEREY F.G. code SPI-GENOA (unpublished)1976.
- [13] koning, A. J., & Rochman, D. (2012). Modern nuclear data evaluation with the TALYS code system. *Nuclear data sheets*, 113(12), 2841-2934